

グリッドレス・ルータの連想メモリプロセッサへの実装

久保田和人・石和 信政・鈴木 敬・大附 辰夫

早稲田大学 理工学部

レイアウト設計の配線処理では、格子に基づかない配線手法「グリッドレス・ルータ」が提案されている。この手法は配線領域を図形として扱い、図形処理により径路を求める。従来ソフトウェアでは計算複雑度を抑えるために複雑なデータ構造を必要としていた。我々は連想メモリを用いて図形処理を高速に実行するハードウェア・エンジン（CHARGE）を提案し、試作を行ってきた。本稿ではグリッドレス・ルータの一手法である「改良線分探索法」をこのハードウェア上に実装し汎用計算機上でのソフトウェアとの比較を行った結果を示す。

An Implementation of a Gridless Router on CAM Based Hardware Engine

Kazuto Kubota, Nobumasa Ishiwa, Kei Suzuki
and Tatsuo Ohtsuki

School of Science and Engineering, Waseda University
3-4-1, Ohkubo, Shinjuku, Tokyo, 160 Japan

Several gridless routing algorithms, in which the area to be used for wiring is represented as a polygonal pattern, have been presented. These algorithms need complicated data structures to reduce computational complexity. We have proposed a CAM based hardware engine which can solve some basic geometrical search problems in constant time. In this paper, we present a hardware gridless routing algorithm and demonstrate its performance data measured on a prototype machine.

1. はじめに

VLSIやPCBの配線処理に格子を用いない配線手法「グリッドレス・ルータ (gridless router)」が提案されている[2-12]。格子構造を用いる配線手法として代表的な迷路法[1]は、経路が存在すれば必ず最短経路を発見できるという利点がある反面、扱う配線領域の面積に比例したメモリを必要とし、大きい配線領域では多大な処理時間を必要とする。また、複雑な設計規則に対応しづらいという欠点をもつ。これに対しグリッドレス・ルータは、配線領域を図形として扱い、図形操作により経路を発見する手法である。グリッドレス・ルータは次のような特徴を持つ。

- ① 図形データを直接扱うので、複雑な設計規則への対応が容易である。
- ② 迷路法のように格子を用いないので使用メモリが少ない。
- ③ 経路が存在すれば必ずこれを発見できる。
- ④ 配線結果のマスクパターンへの変換が容易である。

グリッドレス・ルータは、迷路法に比べれば少ないメモリで高速に処理を行うことができる[11]が、計算複雑度を抑えるために部分問題毎に異なる複雑なデータ構造を必要とし、プログラムの規模は大きくなる。

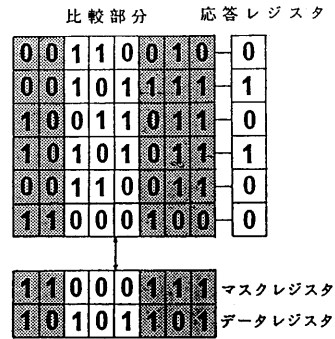
我々は、グリッドレス・ルータのアルゴリズムを提案するとともに、より高速で複雑なデータ構造を必要としない専用ハードウェアの研究も進めてきた[9][16-19]。このハードウェアは連想メモリ (Content addressable memory 以下CAMと略す)[14-15]を用いるもので、グリッドレス・ルータに限らず一般的な図形処理問題を解くことができる。CAMを用いることによりソフトウェアでは、データ数 n に対して $O(\log n)$ や $O(\log^2 n)$ を必要とする問題をデータ数によらず一定時間で解くことができる。さらに、ソフトウェアでは問題毎にデータ構造を用意する必要があったがCAMを用いると同一フォーマットのデータに対して、種々の問題を解くことができる。我々は、このハードウェアをCHARGE (CAM based hardware engine for geometrical problems) と名付け実際に試作し、基本的な図形処理問題に関して評価を行ってきた[18]。本稿では「改良線分探索法」[12]をグリッドレス・ルータの一例として取り上げ、このアルゴリズムをCHARGE上に実装し評価を行った結果を示す。

2. 連想メモリの機能とCHARGE

2.1 連想メモリの機能

CAMは、機能メモリ的一种であり、RAMがアドレスによりデータをアクセスするのに対し、CAMでは、データの一部分が一致するデータを直接アクセスするこ

とができる(図1)。この動作を一致検索と呼ぶ。



- ① データレジスタに値を書き込む
- ② マスクレジスタに値を書き込む
- ③ 比較命令を行う
- ④ 応答レジスタに結果が入る

図1 連想メモリの動作

一回の一致検索に要する時間は、記憶アレイ中のデータ数によらず一定である。さらに、一致検索機能をもとにして、記憶アレイ中のデータの最大値、最小値、あるいはある値より大きいデータ(図2)、ある値より小さいデータを検索することができる。これらの操作を関係検索と呼ぶ。この関係検索もデータ数によらず一定時間で行うことができる。

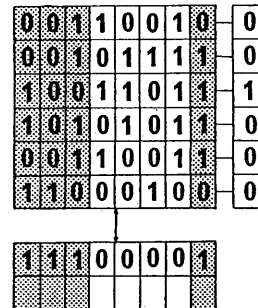


図2 関係検索 (最大値)

また検索された複数のデータの特定のビットに対して、同時に書き込みを行える機能も有している。この機能を用いると、CAMの各ワードに対して並列に加・減算処理を行うことが可能であり、連想メモリを一次元のSIMD型プロセッサとして利用することができる。

2.2 CHARGEの構成

CHARGEではCAMチップに、NTTで開発されたチップ[14] [4k bit/chip:32bit/word × 128 word]を用いている。このチップは最高140 [ns]周期のクロックで実行させることが可能である。このような高速で

動作させるためには、直接ホストコンピュータがCAMに命令を送る方式では効率が悪いので、専用のコマンドシーケンサを設ける必要がある。

図3にCHARGEのブロック図を示す。本システムは大きく分けて、シーケンサ部、ALU部、CAM部、RAM部の4つのモジュールから成り立っている。各部の制御はシーケンサにより駆動されるマイクロコードにより行われる。このマイクロコードの開発のため専用のアセンブラおよびハードウェアエミュレータを開発し、開発環境を整備した[19]。

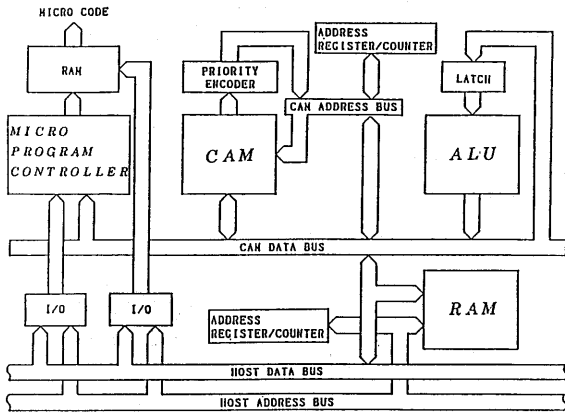


図3 CHARGEのハードウェア構成

3. 連想メモリによる図形処理

CAMを用いることによりいろいろな図形処理問題を解くことができるが、ここではグリッドレス・ルータで扱われているいくつかの基本的な問題に関してCAMを用いた解法を示す。

(1) 線分と交差する線分の探索問題

n 本の水平線分の集合 H に対し、質問線分 V が与えられたとき、 V と交差する H の要素を列挙する問題(図4)。

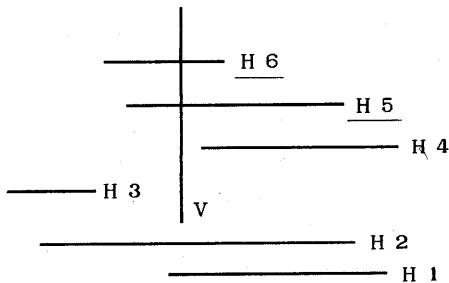


図4 線分と交差する線分の探索問題

(2) 線分に隣接する線分の探索問題

n 本の水平線分の集合 H に対し、質問線分 R が与えられたとき、 R から上(下)方向に長方形領域を広げ、この領域内にある H の要素のうち最も下(上)にある線分を見つける問題(図5)。

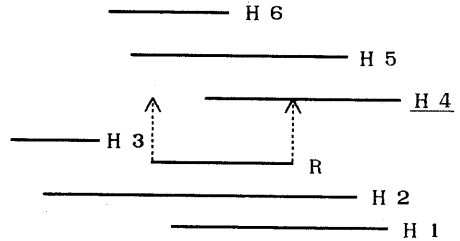


図5 線分に隣接する線分の探索問題

(3) 長方形と交差する線分の探索問題

n 本の水平線分の集合 H に対し、質問長方形 R が与えられたとき、 R と交差する(または含まれる) H の要素を列挙する問題(図6)。

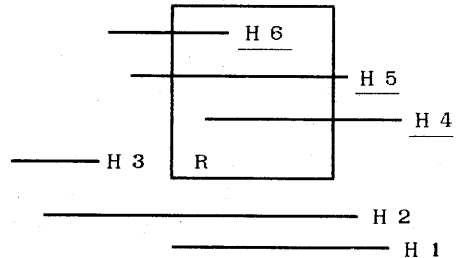


図6 長方形と交差する線分の探索問題

ここでは、上記の問題のうち、(2)の線分に隣接する線分の探索問題が、CAMを用いることにより、線分数 n に依らず、一定時間で解けることを示す。なお、他の(1)(3)の問題や、被質問線分を点に置き換えた問題も同様な操作を行うことにより、一定時間で解くことができる。(2)の問題において、被質問線分は図7に示すようなフォーマットでCAM内に格納されている。質問水平線分を(X_L , X_R , Y) (図5では R)とすると、

- step1: 被質問水平線分(X_L , X_R , Y)に対し、 $X_L \leq X_R$ を満たす線分を選ぶ。
- step2: step1を満たし、かつ $X_R \geq X_L$ を満たす線分を選ぶ。
- step3: step2を満たし、かつ $Y > Y_R$ を満たす線分を選ぶ。

step 4: step 3を満たす線分の中で最小のY座標を持つものを選ぶ。

以上のように4回関係検索を行うことによって、解を求めることができる。したがって、(3)の問題はCAMを用いることにより、時間複雑度 $O(1)$ 、空間複雑度 $O(n)$ で解くことができる。

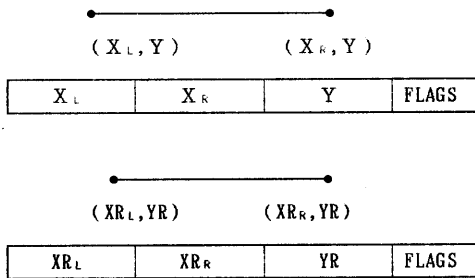


図7 線分探索のためのデータ

4. 改良線分探索法の実装

4.1 CAMを用いた改良線分探索法のアルゴリズム

CHARGE上に実装を行った改良線分探索法は、大きく分けて3つの処理から成る。前処理では与えられた禁止領域、既配線の情報から、配線が通過可能な水平・垂直線分(エスケープライン 以下E.L.と略す)を発生させる。径路探索では、径路を発見し、図形更新では発見された径路を禁止領域として、禁止領域及び配線領域の更新を行う。

(1) 前処理

① 禁止領域・既配線・端子(以下この3つを障害物と呼ぶ)のデータを図8の形式でCAMに入力する。

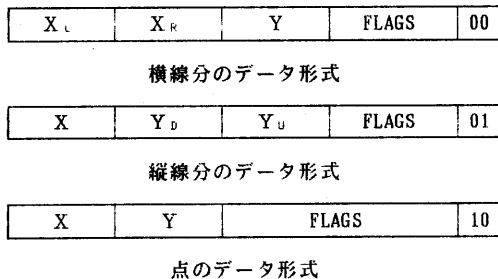


図8 CAM内での図形のデータ形式

② CAMから障害物のデータを逐次取り出し、その周

囲にコーナーポイント(以下C.P.と略す)の候補を発生させる。C.P.の候補のデータもCAMに入力する。コーナーポイントは、配線幅と配線間隔を考慮して配線領域を縮小してできる図形の四角に相当する。

③ 各C.P.の候補について、その点を中心とする一辺の長さが $2D$ (D は配線幅と配線間隔を考慮した長さ)の正方形領域 R に関して「長方形と交差する線分の探索問題 3-(2)」を解く。もし障害物を表す線分が探索されなければその点をC.P.とする。探索されたならばC.P.とせず削除する。

④ 確定したC.P.を中点とする長さ $2D$ の水平・垂直線分 H_{CP} 、 V_{CP} を考える。 V_{CP} に関して「線分に隣接する線分の探索問題 3-(1)」を解き、最も近い障害物を求める。そこから D だけ離れた位置を端点とする水平E.L.を作成する(図9)。 H_{CP} に関して同様な処理を行い垂直E.L.を作成する。これらのE.L.にはラベル値“0”を付加し逐次CAMに格納する。ラベル値は0~3までであり、0は未探索で探索されたものは1~3の値を持つ。

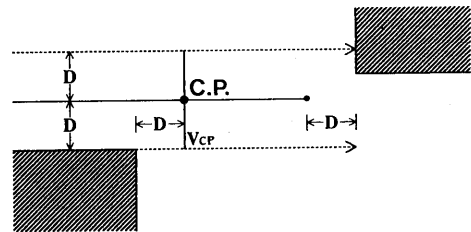


図9 E.L.の作成

(2) 径路探索

与えられた端子対 S (source)と T (target)間の最小曲がり径路を、以下の処理により求める。

① 他の配線を行う際には障害物として扱った端子の周囲のC.P.およびそのC.P.から延びるE.L.をCAMから削除する。

② 端子 T から水平・垂直のE.L.(target lineと呼ぶ)を発生させ、これをCAMに格納する。さらに、端子 S からも水平・垂直のE.L.を発生させ、これらに“1”というラベルを付けCAMに格納する。

③ 探索されるE.L.がある限り、以下の処理を繰り返す。 i の初期値は1である。ラベル i のE.L.を順次取り出し、この線分に関して「線分と交差する線分の探索問題 3-(1)」を解く。探索された線分の中に、ラベル値が“0”のE.L.があれば、そのE.L.のラベル値を $i+1$ (i が3の時は1)とする。この中にtarget lineがあれば逆追跡(⑤以下の処理)を行い、さらに(3)の図形更新を行う。

④ もし、あるラベル値 i について交差するE.L.が存

在しない場合には径路は存在しない。一つでも交差するE.L.があればラベル値 $i + 1$ について③を繰り返す。

- ⑤ 2つの作業領域SEGとPOINTを用意する。初期値としてSEGに、ラベル値の付いている target line を表す線分データ、POINTに端子T(target)を表す点のデータを入れる。
- ⑥ SEG (ラベル値 i) と交差し、かつ、ラベル値が $i - 1$ (i が1の時は3) であるE.L.を「線分と交差する線分の探索問題 3-(2)」を用いて求める。この中でPOINTに最も近いE.L.を求め、このE.L.とSEGとの交点とPOINT間に新規配線を作る(図10)。このE.L.をSEGに格納し、交点をPOINTに格納する。

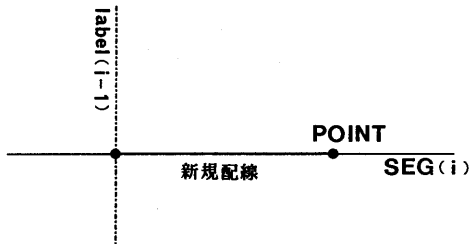


図10 新規配線の作成

- ⑦ ⑥の操作をSEGと交差し、ラベルが $i - 1$ であるE.L.が存在しなくなるまで続ける。存在しなくなった場合は、POINTと端子S (source) 間に新規配線を作る。

(3) 図形更新

- ① 発見された径路を構成する線分について、これらの線分から配線幅と配線間隔を考慮した間隔D以内の領域Rと交差するC.P.及びE.L.を「長方形領域と交差する線分の探索問題 3-(3)」を用いて探索し、これらをCAMから削除する。このとき、この領域外で削除されるE.L.上にあるC.P.はC.P.の候補とする。
- ② C.P.の候補からE.L.を発生させる。
- ③ (1)の前処理と同様な操作で発見された径路の周りに、C.P.およびE.L.を発生させる。

以上、前処理によって配線領域(図11)にC.P.とE.L.が作成され(図12)、径路探索によって最小曲がり径路が見つかり(図13)、図形更新によって発見された径路の周りの図形が更新される(図14)。

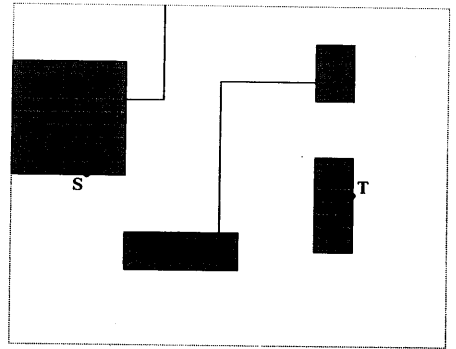


図11 配線領域

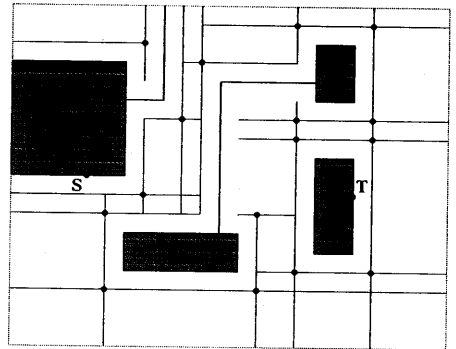


図12 C.P.とE.L.の発生

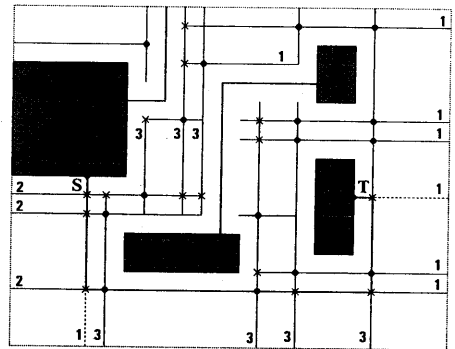


図13 径路の探索

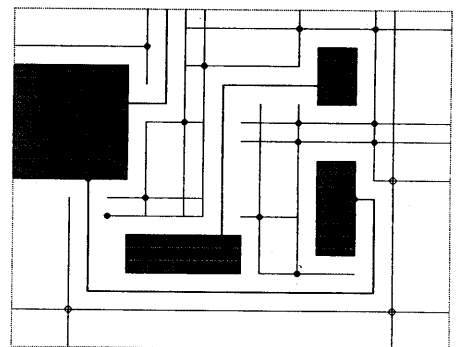


図14 更新された配線領域

4. 2 計算複雑度の評価

次に前節で述べた改良線分探索法について、その計算複雑度の評価を行う。

(1) 前処理

ある障害物からは、定数時間でC.P.の候補を作ることができるので、 n 個の障害物からは $O(n)$ の時間でC.P.の候補を作成できる。C.P.の候補はその周囲の障害物の有無を調べることにより、C.P.となるか削除される。障害物の有無は、「長方形領域と交差する線分の探索問題 3-(3)」を解くことによりわかる。この問題は第3章で示したように、一つの質問長方形について一定時間で解くことができる。C.P.は $O(n)$ 個存在するので、この計算時間は $O(n)$ で抑えられる。1つのC.P.から延びるE.L.の端点の座標を決定するには、「線分に隣接する線分の探索問題 3-(2)」を4回解けばよく、この処理もまた一つのC.P.に関して一定時間で行うことができる。従って、前処理全体の計算複雑度は、 $O(n)$ となる。

(2) 径路探索

径路発見のために行うラベル付けでは「線分と交差する線分の探索問題 3-(1)」を、探索されたE.L.について順次行うことになる。この処理の手間は、探索されたE.L.の本数 s に比例する。このアルゴリズムでは、一度質問線分となったE.L.は二度と探索の対象とならないので、最悪の場合でも処理の手間は、E.L.の本数 $O(n)$ を超えることはない。逆追跡の処理は、見つけた径路の曲がり数を b とすると $O(b)$ 本の線分に対して「線分と交差する線分の探索問題 3-(1)」解くことになるので、処理時間は $O(b)$ となる。よって径路探索全体としての計算複雑度は $O(s)$ となる。(ただし、 $n \geq s \geq b$)。

(3) 図形更新

更新されるE.L.と削除されるC.P.は、 $O(b)$ 本の線分(発見した径路)について、「長方形領域と交差する線分の探索問題 3-(3)」を解くことにより求められる。発見されたC.P.の削除は1命令で行うことができる。更新の対象となるE.L.(これを u 本とする)は、1本あたり一定時間で更新できるので、処理時間は $O(u)$ となる。また、 $O(b)$ 本の新規の配線から、C.P.とE.L.を作成する処理は前処理と同様に $O(b)$ である。よって図形更新の計算複雑度は $O(u)$ となる(ただし、 $n \geq s \geq u \geq b$)。

以上(1)(2)(3)より改良線分探索法はCAMを用いることにより時間複雑度が $O(n)$ で実装できる。

空間複雑度は n 頂点の配線領域の図形データに対し、この図形データ、C.P.、E.L.の数はそれぞれ $O(n)$ 個に抑えられることから $O(n)$ である。ソフトウェアで点や線分を保持するためにヒープ探索木(priority search tree) [13]を用いて改良線分探索法を実装した場合の時間複雑度とCAMを用いた場合との比較を表1に示す。なおヒープ探索木を用いた場合、空間複雑度は $O(n)$ である。

表1 改良線分探索法の時間複雑度

	CAM	ソフトウェア Priority Search Tree
前処理	$O(n)$	$O(n \log^2 n)$
径路探索	$O(s)$	$O(s \log^2 n)$
図形更新	$O(u)$	$O(u \log^2 n)$

n ...図形の頂点数

s ...径路探索で探索されたE.L.の数

u ...図形更新で探索されたE.L.の数

b ...径路の曲がり数

(ただし、 $n \geq s \geq u \geq b$)

5. 実験

図形の頂点数 n が50と100の配線データに対して、実際に配線実験を行いその結果を示す。また、同じ問題を汎用コンピュータ上のソフトウェアで解いた場合との比較を行う。配線データは、 128×128 の領域に一樣乱数を用いて禁止領域を発生させたものである。図15に、本実験で取り扱った配線データの一例を示す。

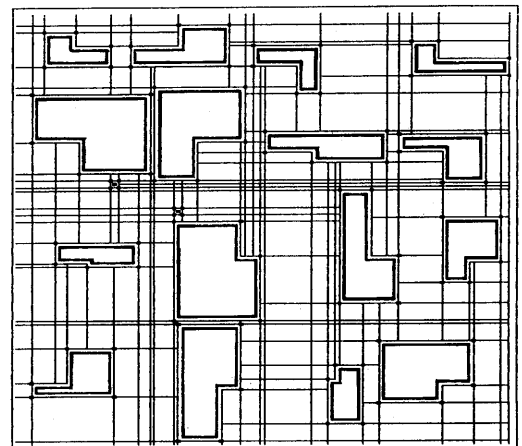


図15 頂点数100の例題

表2, 3に各処理毎の処理時間を示す。なお、ソフトウェアはデータ構造Priority Search Treeを用いてC言語

でVAX11-785上に実装したものである。

表2 処理時間の比較 (n = 50の場合)

	CHARGE [s]	ソフトウェア [s]
前処理	1.7×10^{-2}	4.0×10^{-1}
径路探索	1.8×10^{-3}	0.8×10^{-1}
図形更新	0.7×10^{-2}	2.3×10^{-1}

表3 処理時間の比較 (n = 100の場合)

	CHARGE [s]	ソフトウェア [s]
前処理	3.3×10^{-2}	8.5×10^{-1}
径路探索	2.7×10^{-3}	0.6×10^{-1}
図形更新	1.2×10^{-2}	2.4×10^{-1}

前処理では、禁止領域を表す全ての線分について処理を行うので、データ数と処理時間はほぼ比例すると予想される。実際に、頂点数50と100のデータでは、処理時間は約2倍となっている。

径路探索と図形更新は、理論上の計算複雑度は最悪の場合 $O(n)$ である。実験結果では、頂点数100のときの処理時間は50のときの約1.6倍程度である。これは、径路探索や図形更新の操作が、領域に存在するすべての線分を対象として処理を行うのではなく、新規配線の周りの局所的な部分についてのみ行われるためであると考えられる。理論的には、CHARGEの計算複雑度はソフトウェアよりも良く、部分問題に関しては実験結果を示した[18]。今回の実験ではCAMの容量が足りず、大規模な例題を行えなかったが、大規模な問題ではさらにCAMの効果が期待できる。

実際の処理速度の面においては、CHARGEはソフトウェアと比較して約20倍以上高速であることが実験結果からわかる。ソフトウェアを実装したVAX11-785のサイクルタイムは133[ns]であり、CHARGEのサイクルタイムは200[ns]である。仮に、CHARGEがVAX11-785と同じサイクルタイムで動作したとすれば、処理速度の差はさらに広がることになる。

以上より、理想メモリを用いた本システムのアーキテクチャが、図形処理に有効であり、図形処理を用いる配線手法を高速に実行することが示された。

6. おわりに

本稿では連想メモリプロセッサのアプリケーションとして「改良線分探索法」の実装を行い、処理の手間が改善されることを示した。また、配線実験の結果から、本システム上に実装された配線手法は、汎用コンピュータ上に実装されたソフトウェアと比較して、約20倍以上高速であることがわかった。現在、CHARGEシステムでは、CAMの大容量化を検討中である。これが実現すれば、より大規模で実際の配線問題に対する処理の高速化が期待できる。

<謝辞>

本研究は、財団法人大川情報通信基金:助成番号63-13(昭和63年度)「計算幾何学アルゴリズムのハードウェアに関する研究」の助成のもとに行われたものである。

<参考文献>

- [1] C.Y.Lee: "An Algorithm for Path Connection and its Applications", IRE. Trans EC-10, pp.346-365 (1961).
- [2] W.Lipski, Jr: "Finding a Manhattan Path and Related Problems", NETWORKS, Vol.13, pp.399-409 (1983).
- [3] W.Lipski, Jr: "An $O(n \log n)$ MANHATTAN PATH ALGORITHMS" Inf. Process. Lett., Vol. 19, No2, pp.99-102(1984).
- [4] 小島, 佐藤, 大附: "多角形領域上の最短径路アルゴリズム", 信学技報, CAS83-205, pp.45-50(1984)
- [5] 佐藤, 大附: "グリッドレス・ルーター格子を用いない二層径路探索手法-", 信学論, Vol. J-69-D, No5, pp.802-809, (May 1986).
- [6] Wu, Ying Fung, P. Widmayer, M. D. F. Schlag and C. K. Wong: "Rectilinear shortest paths and minimum spanning trees in the presence of rectilinear obstacles", IEEE Trans. on Comput. Vol. C-36, No.3 pp.321-331(1987)
- [7] K. L. Clarkson, S. Kapoor and P. M. Vaidya: "Rectilinear Shortest Paths through Polygonal obstacles in $O(n(\log n)^2)$ time", Proc. 3rd Annual Symp. on Computational Geometry, pp.251-257(1987).
- [8] A. Margarino, A. Romano, A. DeGloria, F. Curatelli and P. Antognetti: "A Tile Expansion Router", IEEE Trans. on CAD, Vol. CAD-6, No4(1987).
- [9] K. Suzuki, T. Ohtsuki and M. Sato: "A Gridless Router: Software and Hardware Implementation", VLSI'87, pp.121-131(1987).
- [10] 坂中, 佐藤, 大附: "配線問題におけるタイル探索法の評価" 信学技法, VLD87-115, pp.61-68(1987).
- [11] 佐藤: "迷路法とグリッドレス・ルーターの比較評価", 昭和63年度信学春全大, A-269, pp.1-271 (1988)
- [12] 小島, 鈴木, 佐藤, 大附: "ヒープ探索木を用いた改良線分探索法", 信学技報, VLD88-9, pp.65-72 (1988).
- [13] E. M. McCreight: "Priority Search Trees", SIAM J. Comput., Vol. 14, No. 2, pp.257-276(1985).
- [14] 小倉, 山田, 丹野, 石川: "4 k b CMOS 連想メモリ L S I", 信学技報, SSD82-78, pp.45-53 (1983)

- [15] 小倉, 山田, 山田, : “20kb CMOS連想メモリLSI”, 昭和61年度 信学総全大447, pp.2-235(1986)
- [16] 鈴木, 橘, 佐藤, “連想メモリによる図形処理問題の解法”, 信学技報, CAS84-117, pp.13-20(1984)
- [17] 鈴木, 橘, 佐藤, 大附: “連想メモリを用いた配線処理算法”, 信学技報, CAS84-193, pp.25-32(1985)
- [18] 井出, 石和, 小島, 鈴木, 大附: “連想メモリを用いた図形処理装置の試作”, 信学技報, CAS87-106 (1987)
- [19] 石和, 井出, 鈴木, 大附: “連想メモリを用いた図形処理装置とソフトウェア開発環境”, 昭和63年度信学春全大, A-284, pp.1-286(1988)